

MOwNiT - Laboratorium 4: Aproksymacja

Wojciech Dąbek

26 marca 2024

1 Treści zadań laboratoryjnych

1. Aproksymować funkcję $f(x) = 1 + x^3$ w przedziale $[0, 1]$ wielomianem pierwszego stopnia metodą średniokwadratową ciągłą dla $w(x) = 1$.
2. Aproksymować funkcję $f(x) = 1 + x^3$ w przedziale $[0, 1]$ wielomianem stopnia drugiego przy użyciu wielomianów Legendre'a.

2 Treści zadań domowych

1. Napisz procedurę realizującą metodę aproksymacji punktowej za pomocą wielomianów drugiego stopnia.
2. Oblicz wartości funkcji $f(x) = 1 - x^2$ w dyskretnych punktach x_i : $x_i = -1 + 0.5i$, $i = 0, 1, 2, 3, 4$, a następnie aproksymuj funkcję wielomianami Grama stopnia trzeciego.
3. Wykonać aproksymację funkcji $|\sin x|$ funkcjami trygonometrycznymi w zakresie $[-\pi, \pi]$.

3 Rozwiązania zadań laboratoryjnych

3.1

Szukamy funkcji aproksymującej będącej wielomianem pierwszego stopnia

$$q(x) = c_0 + c_1x = c_0\varphi_0(x) + c_1\varphi_1(x) \\ \varphi_0(x) = x^0 = 1, \quad \varphi_1(x) = x^1 = x$$

Do aproksymacji metodą średniokwadratową należy więc rozwiązać układ równań:

$$\sum_{i=0}^1 c_i \int_0^1 w(x) \cdot \varphi_i(x) \cdot \varphi_j(x) dx = \int_0^1 w(x) \cdot f(x) \cdot \varphi_j(x) dx$$

dla $j = 0, 1$

Obliczam więc kolejno:

$$\begin{aligned} \int_0^1 w(x) \cdot \varphi_0(x) \cdot \varphi_0(x) dx &= \int_0^1 1 \cdot 1 \cdot 1 dx = 1 \\ \int_0^1 w(x) \cdot \varphi_1(x) \cdot \varphi_0(x) dx &= \int_0^1 1 \cdot x \cdot 1 dx = \frac{1}{2} \\ \int_0^1 w(x) \cdot \varphi_1(x) \cdot \varphi_1(x) dx &= \int_0^1 1 \cdot x \cdot x dx = \frac{1}{3} \\ \int_0^1 w(x) \cdot f(x) \cdot \varphi_0(x) dx &= \int_0^1 1 \cdot (1 + x^3) \cdot 1 dx = \frac{5}{4} \\ \int_0^1 w(x) \cdot f(x) \cdot \varphi_1(x) dx &= \int_0^1 1 \cdot (1 + x^3) \cdot x dx = \frac{7}{10} \end{aligned}$$

Podstawiając do układu równań otrzymuję postać

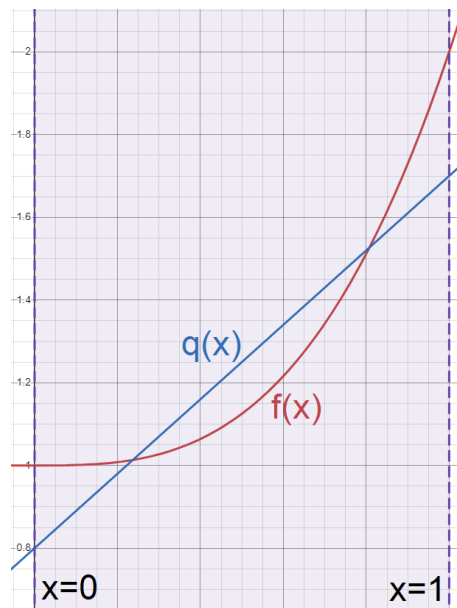
$$\begin{cases} c_0 + \frac{1}{2}c_1 = \frac{5}{4} \\ \frac{1}{2}c_0 + \frac{1}{3}c_1 = \frac{7}{10} \end{cases}$$

Rozwiązaniem jest:

$$\begin{cases} c_0 = \frac{4}{5} = 0.8 \\ c_1 = \frac{9}{10} = 0.9 \end{cases}$$

Stąd otrzymujemy wzór funkcji aproksymującej:

$$q(x) = 0.9x + 0.8$$



Rysunek 1: Wykresy na $[0, 1]$ funkcji aproksymowanej f i aproksymującej q .

3.2

Wielomiany Legendre'a P_n są ortogonalne na przedziale $[-1, 1]$ z wagą 1.

Aby uzyskać podobny efekt na zadanym przedziale $[0, 1]$ określam przesunięte wielomiany Legendre'a jako $\tilde{P}_n(x) = P_n(2x - 1)$. Poprzez takie przekształcenie afiniczne otrzymujemy wielomiany \tilde{P}_n ortogonalne na $[0, 1]$.

Szukamy funkcji aproksymującej będącej wielomianem drugiego stopnia, więc skorzystam jedynie z pierwszych trzech przesuniętych wielomianów Legendre'a:

$$\begin{aligned}\tilde{P}_0(x) &= 1 \\ \tilde{P}_1(x) &= 2x - 1 \\ \tilde{P}_2(x) &= 6x^2 - 6x + 1\end{aligned}$$

Ze względu na ortogonalność układu powyższych funkcji współczynniki funkcji aproksymującej są tu określone wzorem

$$c_i = \frac{1}{\lambda_i} \int_0^1 \tilde{P}_i(x) f(x) dx, \quad \lambda_i = \int_0^1 \tilde{P}_i^2(x) dx$$

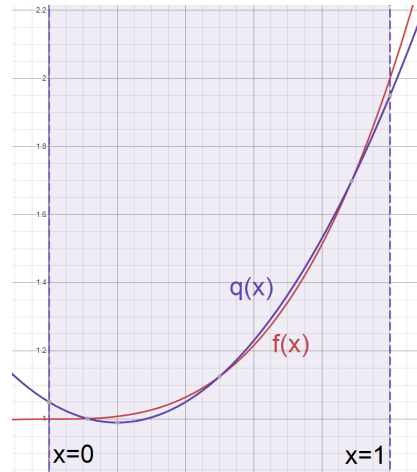
dla $i = 0, 1, 2$

Dokonując odpowiednich podstawień uzyskuję wyniki:

$$\begin{cases} c_0 = \frac{5}{4} \\ c_1 = \frac{9}{20} \\ c_2 = \frac{1}{4} \end{cases}$$

Wstawiając te współczynniki do funkcji aproksymującej otrzymuję:

$$\begin{aligned}q(x) &= \frac{5}{4} + \frac{9}{20}(2x - 1) + \frac{1}{4}(6x^2 - 6x + 1) \\ &= \frac{3}{20}(10x^2 - 4x + 7)\end{aligned}$$



Rysunek 2: Wykresy na $[0, 1]$ funkcji aproksymowanej f oraz aproksymującej q .

Wnioski: Stopień wielomianu aproksymującego ma ogromne znaczenie dla dokładności aproksymacji, a użycie wielomianów ortogonalnych wyraźnie ułatwia obliczenia.

4 Rozwiązania zadań domowych

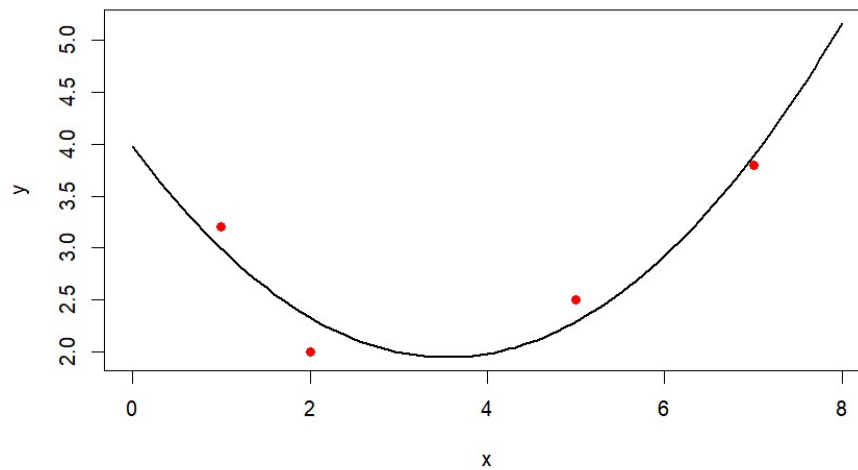
4.1

```
1 Q <- function(m, x, a_vec) {
2   acc <- a_vec[1]
3   for (i in 1:m) {
4     acc <- acc + a_vec[i+1] * x^i
5   }
6   return(acc)
7 }
8
9 S <- function(k, n, x_vec) {
10  acc <- 1.0
11  for (i in 2:n) {
12    acc <- acc + x_vec[i]^k
13  }
14  return(acc)
15 }
16
17 T <- function(k, n, x_vec, y_vec) {
18  acc <- 0
19  for (i in 1:n) {
20    acc <- acc + x_vec[i]^k * y_vec[i]
21  }
22  return(acc)
23 }
24
25 approximating <- function(x, x_vec, y_vec, m) {
26   n <- length(x_vec)
27
28   S_mat <- matrix(numeric((m+1)^2), m+1, m+1)
29   for (row in 0:m) {
30     for (col in 0:m) {
31       S_mat[row+1, col+1] <- S(row + col, n, x_vec)
32     }
33   }
34
35   T_vec <- numeric(m+1)
36   for (i in 0:m) {
37     T_vec[i+1] <- T(i, n, x_vec, y_vec)
38   }
39
40   a_vec <- solve(S_mat, T_vec)
41   return(Q(m, x, a_vec))
42 }
43
44 # przykładowe dane
45 x_values <- c(1, 2, 5, 7)
46 y_values <- c(3.2, 2, 2.5, 3.8)
47 # funkcja jednej zmiennej do rysowania
48 example <- function(x) {
49   return(approximating(x, x_values, y_values, 2))
50 }
51 curve(Vectorize(example, 'x')(x),
52        min(x_values) - 1, max(x_values) + 1, lwd=2, ylab='y')
53 points(x_values, y_values, pch=16, col='red')
```

Powyższy program napisany w języku R realizuje metodę najmniejszych kwadratów aproksymacji punktowej. Główną funkcją jest **approximating**, która reprezentuje funkcję aproksymującą przyjmując jako argumenty:

- **x** - argument główny
- **x_vec** - wektor odciętych zadanych punktów
- **y_vec** - wektor rzędnych
- **m** - stopień wielomianu aproksymującego

Kod na końcu ilustruje przykładowe użycie tej funkcji, generując poniższy wykres przykładowych punktów i aproksymującej paraboli.



4.2

x_i	-1	-0.5	0	0.5	1
$f(x_i)$	0	0.75	1	0.75	0

Tabela 1: Wartości funkcji $f(x) = 1 + x^3$ w zadanych $n + 1 = 5$ punktach

Obliczam kolejne wielomiany Grama do stopnia $m = 3$ dla $n = 4$:

$$\begin{aligned}
F_0(q) &= 1 & \text{gdzie } q &= 2(x+1) \\
F_1(q) &= 1 - 2\frac{q}{n} = 1 - \frac{q}{2} \\
F_2(q) &= 1 - 6\frac{q}{n} + 6\frac{q(q-1)}{n(n-1)} = \frac{1}{2}(q^2 - 4q + 2) \\
F_3(q) &= 1 - 12\frac{q}{n} + 30\frac{q(q-1)}{n(n-1)} - 20\frac{q(q-1)(q-2)}{n(n-1)(n-2)} \\
&= -\frac{5}{6}q^3 + 5q^2 - \frac{43}{6}q + 1
\end{aligned}$$

q	$F_0(q)$	$F_1(q)$	$F_2(q)$	$F_3(q)$
0	1	1	1	1
1	1	0.5	-0.5	-2
2	1	0	-1	0
3	1	-0.5	-0.5	2
4	1	-1	1	-1

Tabela 2: Wartości funkcji F_k dla $q = 0, 1, 2, 3, 4$

Następnie podobnie obliczam odpowiednie s_k :

$$\begin{aligned}
s_0 &= \sum_{q=0}^4 1^2 = 5 \\
s_1 &= \sum_{q=0}^4 \left(1 - \frac{q}{2}\right)^2 = \frac{5}{2} \\
s_2 &= \sum_{q=0}^4 \left(\frac{1}{2}(q^2 - 4q + 2)\right)^2 = \frac{7}{2} \\
s_3 &= \sum_{q=0}^4 \left(-\frac{5}{6}q^3 + 5q^2 - \frac{43}{6}q + 1\right)^2 = 10
\end{aligned}$$

Oraz c_k :

$$c_0 = \sum_{q=0}^4 y_i \cdot 1 = \frac{5}{2}$$

$$c_1 = \sum_{q=0}^4 y_i \cdot \left(1 - \frac{x_i}{2}\right) = \frac{5}{2}$$

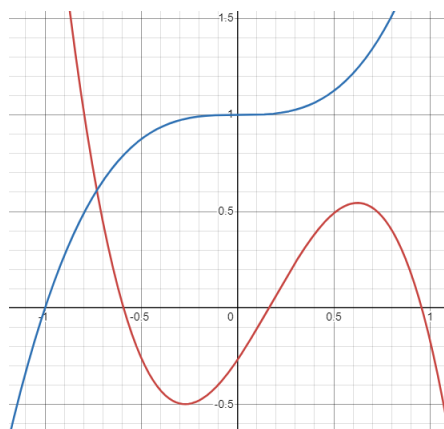
$$c_2 = \sum_{q=0}^4 y_i \cdot \frac{1}{2}(x_i^2 - 4x_i + 2) = \frac{43}{16}$$

$$c_3 = \sum_{q=0}^4 y_i \cdot \left(-\frac{5}{6}x_i^3 + 5x_i^2 - \frac{43}{6}x_i + 1\right) = \frac{35}{8}$$

Można podstawić wyliczone wartości do finalnego wzoru na funkcję aproksymującą:

$$y(x) = \sum_{k=0}^3 \frac{c_k}{s_k} F_k(q), \quad q = 2(x+1)$$

$$\begin{aligned} y(x) &= \frac{5}{2} \cdot \frac{1}{5} \cdot 1 + \frac{5}{2} \cdot \frac{2}{5} \cdot \left(1 - \frac{q}{2}\right) + \frac{43}{16} \cdot \frac{2}{7} \cdot \frac{1}{2}(q^2 - 4q + 2) + \\ &+ \frac{35}{8} \cdot \frac{1}{10} \cdot \left(-\frac{5}{6}q^3 + 5q^2 - \frac{43}{6}q + 1\right) = \\ &= \frac{1}{2} + 1 - \frac{q}{2} + \frac{43}{112}(q^2 - 4q + 2) + \frac{7}{16} \left(-\frac{5}{6}q^3 + 5q^2 - \frac{43}{6}q + 1\right) = \\ &= -\frac{35}{96}q^3 + \frac{18}{7}q^2 - \frac{3475}{672}q + \frac{303}{112} = -\frac{35}{12}x^3 + \frac{43}{28}x^2 + \frac{71}{48}x - \frac{15}{56} \end{aligned}$$



Rysunek 3: Porównanie funkcji - gdzieś musiałem popełnić błąd (._.)

4.3

Funkcja $f(x) = |\sin x|$ spełnia warunki Dirichleta, więc ma reprezentację w postaci szeregu Fouriera i można ją rozłożyć na sumę funkcji trygonometrycznych. Jej okresem jest π . Trygonometryczny szereg Fouriera jest więc zadany tutaj przez

$$\begin{aligned} S(x) &= \frac{a_0}{2} + \sum_{n=1}^{\infty} (a_n \cos(2nx) + b_n \sin(2nx)) \\ a_n &= \frac{2}{\pi} \int_{-\frac{\pi}{2}}^{\frac{\pi}{2}} |\sin x| \cos(2nx) \, dx \\ b_n &= \frac{2}{\pi} \int_{-\frac{\pi}{2}}^{\frac{\pi}{2}} |\sin x| \sin(2nx) \, dx \end{aligned}$$

Funkcja f jest parzysta, więc współczynnik b_n jest stale równy 0, bo podcałkowa jest tam nieparzysta. Odwrotnie jest przy a_n , mamy więc:

$$a_n = \frac{2}{\pi} \int_0^{\pi} \sin x \cos(2nx) \, dx = -\frac{4}{\pi(4n^2 - 1)}$$

Stąd ostatecznie

$$S(x) = \frac{2}{\pi} + \frac{4}{\pi} \sum_{n=1}^{\infty} \frac{\cos(2nx)}{4n^2 - 1} \quad (= f(x) = |\sin x|)$$

jest sumą tego szeregu. Funkcja f może być zatem aproksymowana na danym przedziale wybraną sumą częściową:

$$f(x) \approx \frac{2}{\pi} + \frac{4}{\pi} \sum_{k=1}^N \frac{\cos(2kx)}{4k^2 - 1}$$

5 Bibliografia

Materiały ze strony - Włodzimierz Funika

https://en.wikipedia.org/wiki/Legendre_polynomials#Shifted_Legendre_polynomials

https://pl.wikipedia.org/wiki/Szereg_Fouriera